



V SBQEE  
Seminário Brasileiro sobre Qualidade da Energia Elétrica  
17 a 20 de Agosto de 2003  
Aracaju – Sergipe – Brasil



Código: AJU 03 171  
Tópico: Modelagens e Simulações

## CLASSIFICAÇÃO DE FALTAS VIA REDES NEURAIS ARTIFICIAIS

B. A. de Souza \*  
UFCG  
A. B. Fernandes  
NEPEN / Fac. Pio Décimo  
K. M. C. Dantas  
UFCG

W. A. Neves  
UFCG  
S. S. B. da Silva  
CHESF  
A. V. Fontes  
UFCG

N. S. D. Brito  
UFCG  
K. M. e Silva  
UFCG  
F. B. Costa  
UFCG

### RESUMO

Este trabalho apresenta o desenvolvimento de um software classificador de faltas em linhas de transmissão, utilizando redes neurais artificiais (RNAs) e linguagem de programação C++ com recursos de programação orientada a objeto. A RNA usa valores amostrados de tensões e correntes trifásicas em situação de pré e pós-falta, tanto na fase de treinamento quanto na fase de teste. Foi construída uma base de conhecimento utilizando o programa ATP [9]. O trabalho ainda está em andamento, mas resultados muito promissores estão sendo obtidos.

### PALAVRAS-CHAVE

Classificação de Faltas, Redes Neurais Artificiais, Base de Conhecimento.

### 1.0 - INTRODUÇÃO

A complexidade atual do sistema elétrico, aliada às novas cargas e a privatização do setor, tem tornado o mercado de energia cada vez mais competitivo, exigindo eficiência do sistema e qualidade no serviço prestado. Nesse contexto, a proteção do sistema elétrico e em particular, das linhas de transmissão, passa a ter uma importância cada vez maior no cenário atual do setor elétrico.

Com o advento dos microprocessadores, vários métodos analíticos vêm sendo desenvolvidos e

sucessivamente testados no esquema de proteção de linhas de transmissão, que deve incluir as etapas de detecção, localização e classificação de faltas. Muitos desses métodos apresentam desempenho comprometido por alguns parâmetros como influência do ruído nas medições, presença de harmônicos na rede e até mudanças nas condições de operação do sistema.

Com o avanço das técnicas de Inteligência Artificial, em especial as Redes Neurais Artificiais, surgiu uma alternativa diferente de abordagem de problemas de diagnóstico de faltas em linhas de transmissão [1], [2], [5], [6] e [7]. Esta metodologia vem apresentando desempenho superior aos métodos analíticos, principalmente no que diz respeito à velocidade, precisão e robustez no diagnóstico.

Esse trabalho tem como objetivo a implementação do módulo classificador, utilizando RNAs, linguagem de programação C++ e técnicas de modelagem orientada a objetos. Dá-se enfoque às redes perceptron de múltiplas camadas com algoritmo de treinamento de Levenberg-Marquardt [3].

O software será incorporado ao sistema de análise de ocorrências do sistema CHESF — Companhia Hidroelétrica do São Francisco, mediante um convênio firmado com o Departamento de Engenharia Elétrica da Universidade Federal de Campina Grande.

Outro objetivo deste trabalho é apresentar de forma didática, a construção do software classificador.

## 2.0 - REDES PERCEPTRON DE MÚLTIPLAS CAMADAS

### 2.1 Descrição

Em termos gerais, uma rede perceptron de múltiplas camadas é constituída de uma camada de entrada, uma camada de saída e uma ou mais camadas escondidas, cada qual composta por unidades de processamento chamadas de neurônios. Um modelo usual para um neurônio  $j$  é apresentado na Figura 1 a seguir.

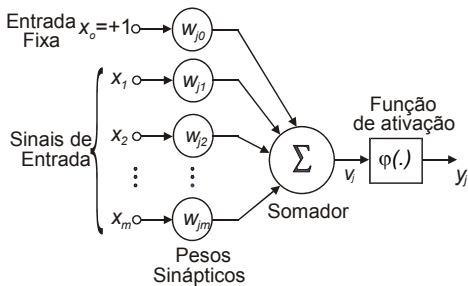


Figura 1 – Modelo do neurônio.

Sendo:  $\mathbf{x} = \{x_1, x_2, \dots, x_m\}^T$  o vetor de entrada;  $x_0 = 1$ ;  $\mathbf{w}_{ji} = \{w_{j1}, w_{j2}, \dots, w_{jm}\}$  o vetor de pesos sinápticos;  $w_{j0}$  é chamado de *bias* e referenciado por  $b_j$ ;  $v_j$  o potencial de ativação;  $\varphi_j(\cdot)$  a função de ativação do neurônio  $j$  e  $y_j$ , a saída do neurônio  $j$ .

O neurônio calcula sua saída aplicando uma função de limiar à combinação linear dos elementos do vetor de entrada apresentado, juntamente com a entrada fixa, ponderados por seus respectivos pesos sinápticos.

A saída do neurônio é propagada ou para outros neurônios, ou para a saída da rede. Uma rede perceptron de múltiplas camadas será, portanto, um conjunto de neurônios organizados em camadas (Figura 2).

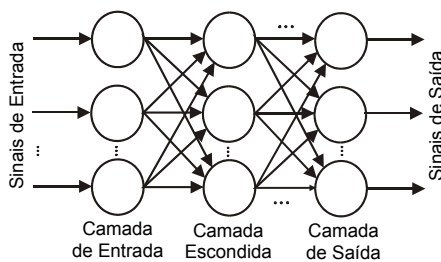


Figura 2 – Rede perceptron de múltiplas camadas.

A informação de entrada da rede se propaga camada a camada, até a saída. O vetor de saída de uma camada  $k$  da rede pode ser calculado como:

$$\mathbf{y}^k = \varphi(\mathbf{W}^k \mathbf{x}^{kT} + \mathbf{b}^k). \quad (1)$$

Sendo:  $\mathbf{W}^k$  a matriz de pesos da camada  $k$ ;  $\mathbf{b}^k$  o vetor de bias da camada  $k$ ;  $\mathbf{x}^k$  e  $\mathbf{y}^k$  os vetores de entrada e saída da camada  $k$ , respectivamente.

### 2.2 Algoritmo de treinamento

Para fazer uma classificação correta, um conjunto de dados representativos de todas as classes do problema deve ser apresentado à rede. O conjunto de dados consiste basicamente, dos vetores de entrada e seus respectivos vetores de saída desejados. Desta forma, é possível realizar um treinamento supervisionado da rede.

O algoritmo de treinamento mais usual para redes perceptron de múltiplas camadas é o algoritmo de retropropagação proposto por Rumelhart [4]. A regra de aprendizado, também conhecida como regra do gradiente descendente, explora o gradiente da função de custo da rede, dada por:

$$\xi = \frac{1}{2} \sum_{j=1}^{S_M} e_j^2. \quad (2)$$

Sendo:  $e_j$  o erro entre a saída  $j$  da rede e seu valor desejado;  $S_M$  o número de neurônios da camada de saída da rede e  $M$  o número de camadas da rede.

A aproximação do reajuste dos pesos de uma camada  $k$  na iteração  $n$  é dada por:

$$\Delta w_{ji}^k(n) = -\alpha \frac{\partial \xi(n)}{\partial w_{ji}^k} \quad (3)$$

$$\Delta b_j^k(n) = -\alpha \frac{\partial \xi(n)}{\partial b_j^k}, \quad (4)$$

sendo,  $\alpha$  o coeficiente de aprendizagem.

Os termos  $\frac{\partial \xi(n)}{\partial w_{ji}^k}$  e  $\frac{\partial \xi(n)}{\partial b_j^k}$  são calculados aplicando a regra da cadeia:

$$\frac{\partial \xi(n)}{\partial w_{ji}^k} = \frac{\partial \xi(n)}{\partial v_j^k} \frac{\partial v_j^k}{\partial w_{ji}^k} = \delta_j^k y_i^{k-1} \quad (5)$$

$$\frac{\partial \xi(n)}{\partial b_j^k} = \frac{\partial \xi(n)}{\partial v_j^k} \frac{\partial v_j^k}{\partial b_j^k} = \delta_j^k, \quad (6)$$

com  $\delta_j^k = \frac{\partial \xi(n)}{\partial v_j^k}$ .  $\delta_j^k$  é denominado de delta local

e indica a sensibilidade da função de custo em relação as variações no neurônio  $j$  da camada  $k$ . O fator  $y_i^{k-1}$  é a saída  $i$  da camada anterior.

O cálculo do vetor delta local de uma camada varia com seu tipo:

$$\delta^k = \begin{cases} \Phi^K \mathbf{W}^{K+1T} \delta^{K+1}, & \text{se } K \neq M \\ -\Phi^K \mathbf{e} & \text{, se } K = M \end{cases}, \quad (7)$$

sendo  $\Phi^k$  a matriz cujos elementos são as derivadas dos elementos da matriz  $\Phi^k$  com relação a  $v_j$ :

$$\Phi^k = \begin{bmatrix} \varphi(v_1) & 0 & \dots & 0 \\ 0 & \varphi(v_2) & \dots & 0 \\ \vdots & \vdots & \ddots & \vdots \\ 0 & 0 & \dots & \varphi(v_{S_k}) \end{bmatrix} \quad (8)$$

e

$$\mathbf{e} = [e_1 \ e_2 \ \dots \ e_{S_M}]^T. \quad (9)$$

O reajuste dos pesos é feito de forma retroativa, da última camada em direção a entrada da rede, utilizando (7), (6), (5), (4) e (3) para todos os elementos do conjunto de treinamento.

Esse algoritmo apesar de apresentar simplicidade na implementação, possui uma convergência muito lenta e pode chegar até a não convergir, mesmo com a utilização de algumas heurísticas de melhoramento do método. Isto se deve ao fato de que o método opera segundo uma *aproximação linear* da função de custo da rede na vizinhança local do ponto de operação, descrito pela matriz de pesos da rede  $\mathbf{W}$ . Ou seja, baseia-se apenas no vetor gradiente como a única fonte de informação local sobre a superfície de erro.

Uma melhora significativa no desempenho da convergência de um perceptron de múltiplas camadas, comparado à aprendizagem pelo gradiente descendente, é conseguida tomando uma informação de ordem mais elevada no processo de treinamento [4]. Em geral, se faz uma *aproximação quadrática* pela utilização de métodos como o de Newton, gradiente conjugado e Levenberg-Marquardt. Nesse contexto, o treinamento da rede é visto como um *problema de otimização numérica*.

Dentre os métodos mencionados acima, optou-se pela utilização do método de Levenberg-Marquardt [3], que é, na realidade, uma aproximação do método de Newton. Nesse caso, a função de custo é redefinida como:

$$\xi = \sum_{p=1}^N \mathbf{e}_p^2. \quad (10)$$

Sendo:  $N=S_M Q$  e  $Q$ : o número de padrões de treinamento em uma época de treinamento.

O objetivo é minimizar a função de custo com relação  $\mathbf{W}$ :

$$\mathbf{W} = [w_{11}^1 \ w_{12}^1 \ \dots \ w_{S_1 R}^1 \ b_1^1 \ \dots \ b_{S_1}^1 \ w_{11}^2 \ \dots \ w_{S_2}^2]^T. \quad (11)$$

Sendo:  $w_{ji}^k$  o peso da ligação sináptica entre os neurônios  $i$  e  $j$  da camada  $k$ ;  $b_j^k$  a bias do neurônio  $j$  da camada  $k$ ;  $S_k$  o número de neurônios da camada  $k$ .

A aplicação do método de Newton resulta em:

$$\Delta \mathbf{W} = -[\nabla^2 \xi(\mathbf{W})]^{-1} \nabla \xi(\mathbf{W}). \quad (12)$$

Sendo:  $\nabla^2 \xi(\mathbf{W})$  a matriz Hessiana e  $\nabla \xi(\mathbf{W})$ , o vetor gradiente.

Como a função de custo (10) é uma soma de quadrados, é possível mostrar que:

$$\nabla \xi(\mathbf{W}) = \mathbf{J}^T(\mathbf{W}) \mathbf{e}(\mathbf{W}) \quad (13)$$

$$\nabla^2 \xi(\mathbf{W}) = \mathbf{J}^T(\mathbf{W}) \mathbf{J}(\mathbf{W}) \quad (14)$$

$\mathbf{J}(\mathbf{W})$  é a matriz Jacobiana:

$$\mathbf{J}(\mathbf{W}) = \begin{bmatrix} \frac{\partial \mathbf{e}_1(\mathbf{W})}{\partial w_1} & \frac{\partial \mathbf{e}_1(\mathbf{W})}{\partial w_2} & \dots & \frac{\partial \mathbf{e}_1(\mathbf{W})}{\partial w_L} \\ \frac{\partial \mathbf{e}_2(\mathbf{W})}{\partial w_1} & \frac{\partial \mathbf{e}_2(\mathbf{W})}{\partial w_2} & \dots & \frac{\partial \mathbf{e}_2(\mathbf{W})}{\partial w_L} \\ \vdots & \vdots & \ddots & \vdots \\ \frac{\partial \mathbf{e}_N(\mathbf{W})}{\partial w_1} & \frac{\partial \mathbf{e}_N(\mathbf{W})}{\partial w_2} & \dots & \frac{\partial \mathbf{e}_N(\mathbf{W})}{\partial w_L} \end{bmatrix}. \quad (15)$$

Sendo  $w_j$  o elemento  $j$  do vetor  $\mathbf{W}$  e  $L$ , o número de ligações sinápticas da rede.

Dessa forma, o método de Newton pode ser calculado a partir de (12), (13) e (14):

$$\Delta \mathbf{W} = -[\mathbf{J}^T(\mathbf{W}) \mathbf{J}(\mathbf{W})]^{-1} \mathbf{J}^T(\mathbf{W}) \mathbf{e}(\mathbf{W}). \quad (16)$$

O método de Levenberg-Marquardt é uma modificação do método de Newton [3],

$$\Delta \mathbf{W} = -[\mathbf{J}^T(\mathbf{W}) \mathbf{J}(\mathbf{W}) + \mu \mathbf{I}]^{-1} \mathbf{J}^T(\mathbf{W}) \mathbf{e}(\mathbf{W}). \quad (17)$$

O parâmetro  $\mu$  é multiplicado por um fator  $\beta$ , quando o ajuste dos pesos provocar um aumento da função de custo e é dividido por  $\beta$ , quando há uma diminuição. Para valores grandes de  $\mu$ , o método torna-se o método do gradiente descendente, enquanto que para valores pequenos de  $\mu$ , o método torna-se o método de Newton.

O ponto principal na implementação do método é o cálculo da matriz Jacobiana, que para uma rede perceptron de múltiplas camadas, é realizado a partir de uma pequena modificação do algoritmo de retropropagação.

No algoritmo de retropropagação o reajuste dos pesos é calculado a partir do gradiente da função de custo:

$$\frac{\partial \xi(n)}{\partial w_{ji}^k} = \frac{\partial \sum_{q=1}^Q \mathbf{e}_q^2(n)}{\partial w_{ji}^k}. \quad (18)$$

De acordo com (15), os elementos da matriz Jacobiana, que são necessários para o algoritmo de Levenberg-Marquardt, são dados por:

$$\frac{\partial \mathbf{e}_q(n)}{\partial w_{ji}^k}. \quad (19)$$

Esses termos podem ser calculados usando o algoritmo de retropropagação, com uma modificação na camada final:

$$\delta^M = -\dot{\Phi}^M. \quad (20)$$

Através de retropropagação pela rede, de cada coluna da matriz  $\delta^M$ , é determinada uma linha da matriz Jacobiana.

Dessa forma, as mesmas expressões utilizadas para o treinamento por retropropagação: (3), (4), (5), (6) e (7), podem ser utilizadas no método de Levenberg-Marquardt para o cálculo dos elementos da matriz Jacobiana. O reajuste dos pesos é dado por (17)

### 3.0 – SISTEMA TESTE

Para se obter eficiência no treinamento da rede foi necessário construir uma base de conhecimento com características próximas das condições reais, porém imune aos ruídos, que dificultam o treinamento da rede.

Tomou-se como sistema teste, o sistema utilizado por [1]. O sistema de transmissão constitui-se de três linhas de transmissão trifásicas, classe 440 kV, não transpostas, com quatro condutores geminados por fase e dois cabos pára-raios (Figuras 3 e 4).

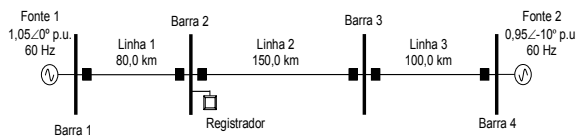


Figura 3 - Sistema de transmissão trifásico, classe 440 kV, utilizado para geração da base de conhecimento.

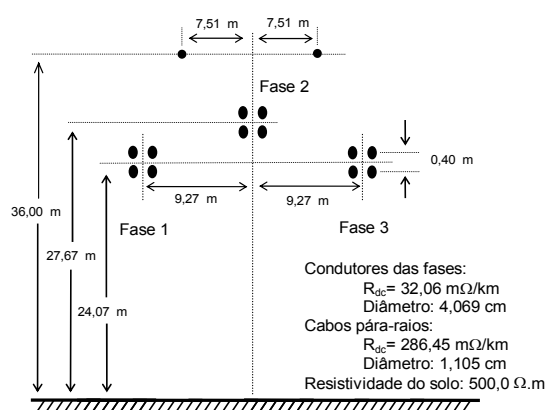


Figura 4 - Linha de transmissão trifásica classe 440 kV, não transposta, com quatro condutores geminados por fase e dois cabos pára-raios.

Uma vez definida a topologia do sistema e modeladas as linhas de transmissão, o passo

seguinte foi simular as condições de falta, as quais são apresentadas na Tabela 1.

## 4.0 – IMPLEMENTAÇÃO DO MÉTODO

### 4.1 Geração da base de conhecimento

Na geração da base de conhecimento, o programa ATP [9] foi utilizado para simular as ocorrências, a partir da condição de pré-falta, até alguns ciclos após a ocorrência da falta. Por questão de compatibilidade com o formato de arquivo padronizado dos registradores digitais (IEEE COMTRADE, [8]), foi implementado um programa na linguagem Fortran para converter os arquivos de saída do ATP para esse formato.

Tabela 1 - Conjunto de dados utilizados na simulação digital.

| Variáveis das faltas            | Conjunto de dados para treinamento e teste  |
|---------------------------------|---|
| Localização das faltas (em km)  | Entre as barras 1 e 2: 30 e 60<br>Entre as barras 2 e 3: 90, 120 e 150<br>Entre as barras 3 e 4: 180, 210, 240, 270 e 300 |
| Tipos de falta                  | AT – BT – CT<br>AB – AC – BC<br>ABT – ACT – BCT – ABC – ABCT  |
| Resistência de falta (em Ω)     | Fase-Terra: 0,1e 100<br>Fase-Fase: 0,1 e 1,0  |
| Ângulo de incidência (em graus) | 30 e 60 (Referência: fase A da fonte 1)   |

Visando automatizar a geração da base de conhecimento, um arquivo “.bat” (*batch file*) foi gerado, no qual são listados todos os casos a serem simulados (arquivos “.atp”). O procedimento desenvolvido:

- Ordena as tarefas a serem executadas pelo programa ATP e pelo conversor de saída do ATP para o padrão IEEE COMTRADE.
- Nomeia, de forma sistemática, cada arquivo de saída.

Considerou-se que a classificação da falta poderia ser feita através das primeiras amostras pós-falta. Desta forma, utilizou-se uma janela móvel de dados com cinco amostras, a qual percorre todo o arquivo de registro da ocorrência. Aplicou-se um esquema de *janelamento* em cada arquivo da base de conhecimento no padrão IEEE COMTRADE, criando assim, uma base de conhecimento para a rede, onde cada padrão de treinamento possui cinco amostras de tensão e de corrente para cada fase.

A Figura 5 ilustra a janela móvel utilizada para a construção dos padrões de treinamento da rede.

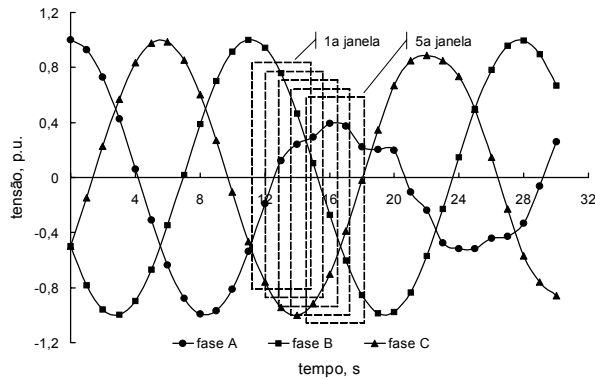


Figura 5 Processo de janelamento dos sinais de tensão.

As Figuras 6 e 7 apresentam exemplos de faltas simuladas no ATP.

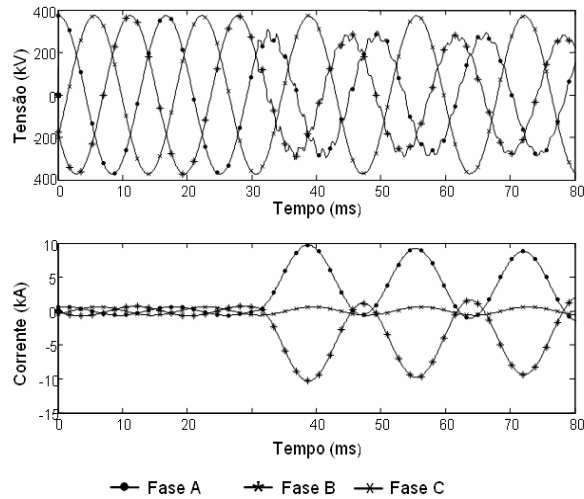


Figura 6 - Falta tipo AB situada a 210 km da barra 1, com resistência de falta de 0,1 Ω e ângulo de incidência de 30°.

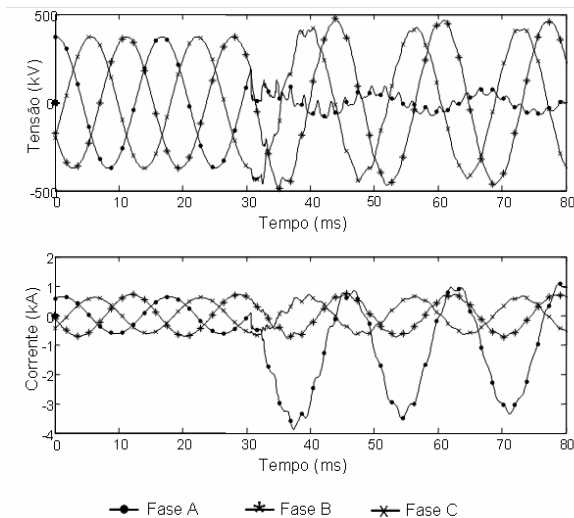


Figura 7 - Falta tipo AT situada a 30 km da barra 1, com resistência de falta de 0,1 Ω e ângulo de incidência de 30°.

Outro ponto que merece destaque é o processo de mistura aleatória que foi aplicado aos padrões do conjunto de treinamento. Esse procedimento evita tendências no treinamento da rede.

#### 4.2 Implementação do classificador

Para validação dos resultados obtidos na implementação do classificador em C++, está sendo utilizando o *Neural Network Toolbox* do programa Matlab® [10], o que proporciona facilidade na realização de testes para várias arquiteturas de rede.

Como já citado, a classificação da falta deve ser feita utilizando valores de tensão e corrente amostrados, dispostos em uma janela de dados com cinco amostras de tensão e de corrente referentes a cada fase, o que contabiliza trinta dados de entrada para rede. Como resultado da classificação, a RNA deve apresentar uma saída codificada que indica as fases envolvidas e se houve ou não conexão com a terra. A Tabela 2 apresenta as saídas desejadas para a RNA [2].

Tabela 2 – Respostas desejadas para a RNA.

| Tipo de falta | Respostas Desejadas      |                          |                          |                         |
|---------------|--------------------------|--------------------------|--------------------------|-------------------------|
|               | Fase A<br>S <sub>1</sub> | Fase B<br>S <sub>2</sub> | Fase C<br>S <sub>3</sub> | Terra<br>S <sub>4</sub> |
| AT            | 1                        | 0                        | 0                        | 1                       |
| BT            | 0                        | 1                        | 0                        | 1                       |
| CT            | 0                        | 0                        | 1                        | 1                       |
| AB            | 1                        | 1                        | 0                        | 0                       |
| AC            | 1                        | 0                        | 1                        | 0                       |
| BC            | 0                        | 1                        | 1                        | 0                       |
| ABT           | 1                        | 1                        | 0                        | 1                       |
| ACT           | 1                        | 0                        | 1                        | 1                       |
| BCT           | 0                        | 1                        | 1                        | 1                       |
| ABC           | 1                        | 1                        | 1                        | 0                       |
| ABCT          | 1                        | 1                        | 1                        | 1                       |
| Normal        | 0                        | 0                        | 0                        | 0                       |

Como os dados de entrada da rede não estavam normalizados, efetuou-se normalização de modo que os valores das entradas ficassem uniformemente distribuídos entre -1 e 1. Com isso, levou-se em consideração a natureza senoidal dos sinais de entrada em condições normais de operação. Desta maneira, evitou-se mais uma vez, tendências no treinamento, o que faz com que a rede conseguia identificar todas as classes de maneira equivalente.

Alguns testes iniciais foram realizados visando determinar a eficácia do método e a precisão dos resultados obtidos com a implementação em C++, objetivo final da pesquisa.

Todos os testes que estão sendo realizados utilizam uma mesma arquitetura de rede: trinta

neurônios na camada de entrada, quatro na camada de saída, uma camada oculta com número de neurônios variável para cada teste e função de ativação tangente hiperbólica.

Foram realizados dois testes. O primeiro teste utilizou o algoritmo de treinamento por retropropagação com *momentum* [4]. Nesse caso, classificou-se apenas um tipo de falta (falta AT, a 30 km da barra 1, com resistência de falta de  $1\Omega$  e ângulo de injeção de  $60^\circ$ ).

Na implementação utilizando o *Neural Network Toolbox* do Matlab®, a arquitetura que obteve melhor desempenho apresentou 10 neurônios na camada intermediária. Foi obtido desempenho de 100% na classificação, erro mínimo de 0,009 na etapa de validação e tempo de treinamento de 3 minutos.

Na implementação em C++, com a mesma arquitetura utilizada no Matlab®, obteve-se também desempenho de 100% na classificação, erro mínimo de 0,01 e tempo de treinamento de 2 segundos.

Como mencionado anteriormente, o algoritmo de retropropagação apresenta alguns problemas de convergência no treinamento da rede. Optou-se pela utilização do algoritmo de Levenberg-Marquardt, que apesar de exigir esforço computacional maior, apresenta desempenho superior no treinamento. Utilizando o *Neural Network Toolbox* do Matlab®, a arquitetura que obteve melhor desempenho apresentou 18 neurônios na camada escondida. Obteve-se desempenho de 100% na classificação 100%, com erro mínimo de validação de 0,0027 e tempo de treinamento em torno de 30h.

A implementação do algoritmo de Levenberg-Marquardt em C++ ainda está sendo realizada.

## 5.0 – CONCLUSÕES

A aplicação de RNAs para a classificação de faltas em linhas de transmissão, utilizando valores amostrados de tensão e corrente do sistema, está sendo avaliada nesse projeto de P&D.

Para os casos avaliados obteve-se desempenho de 100% na classificação dos padrões de falta.

A utilização do *Neural Network Toolbox* do software Matlab® está tendo um papel fundamental na validação das implementações que estão sendo realizadas em C++, mesmo com tempo de treinamento elevado.

Apesar da pesquisa estar em andamento os resultados obtidos são animadores. O que se deseja é que o programa desenvolvido possa ser incorporado ao sistema de análise de ocorrências da CHESF, utilizando arquivos de dados provenientes dos registradores digitais para efetuar a classificação das ocorrências.

## 6.0 - REFERÊNCIAS BIBLIOGRÁFICAS

- [1] D. V. Coury, R. Giovanini, "Classificação Rápida de Faltas em Sistemas Elétricos Utilizando Redes Neurais Artificiais", *IV Congresso Brasileiro de Redes Neurais*, Julho 20-22, São José dos Campos, Brasil, 1999, pp.281-286.
- [2] M. Oleskovicz, D. V. Coury, R. K. Aggarwal, "Redes Neurais Artificiais Aplicadas à Classificação Rápida de Faltas em Sistemas de Potência", *SBA Controle & Automação*, Vol. 11 no. 03/ Set., Out., Nov., Dezembro de 2000, pp. 160-168.
- [3] M. T. Hagan, M. B. Menhaj, "Training Feedforward Networks with the Maquardt Algorithm", *IEEE Trans. On Neural Networks*, Vol. 6, no. 6, pp. 989-993, November 1994.
- [4] S. Haykin, *Redes Neurais, Princípios e Prática*, 2ª ed., Porto Alegre: Bookman, 2001.
- [5] T. Dalstein, B. Kulieke, "Neural Network Approach to Fault Classification for High Speed Protective Relaying", *IEEE Trans. On Power Delivery*, Vol. 10, no. 2, pp 1002-1009, April 1995.
- [6] T. S. Sidhu, H. Singh, M. S. Sachdev, "Design, Implementation of an Artificial Neural Network Based Fault Direction Discriminator for Protecting Transmission Lines", *IEEE Trans. On Power Delivery*, Vol. 10, no. 2, pp. 697-705, April 1995.
- [7] E. A. Mohamed, N. D. Rao, "Artificial Neural Network Based Fault Diagnostic System for Electric Power Distribution Feeders", *Electric Power Systems Research*, Vol. 35, pp 1-10, February 1995.
- [8] IEEE POWER SYSTEM RELAYING COMMITTEE, *IEEE Standard Common Format for Transient Data exchange (COMTRADE) for Power Systems*, IEEE PES (C37.111-1991), New York, New York, October 1991.
- [9] LEUVEN EMTP CENTER. *ATP - Alternative Transient Program - Rule Book*. Herverlee, Belgium, 1987.
- [10] The Mathworks, Inc., *Neural Network Toolbox User's Guide*, June 2002.